

## Meso-四(对甲基苯基)卟啉及其钴配合物的光学性能与生物应用

张万宇<sup>1</sup> 张晓娟<sup>\*1</sup> 佟佳霖<sup>1</sup> 陈天赐<sup>1</sup> 田俊强<sup>1</sup> 胡 蓉<sup>2</sup> 王志明<sup>\*2</sup>

(<sup>1</sup> 沈阳工业大学石油化工学院, 辽阳 111003)

(<sup>2</sup> 香港科技大学深圳研究院, 深圳 518000)

**摘要:** 对 meso-四(对甲基苯基)卟啉(TMPP)和 meso-四(对甲基苯基)卟啉钴(TMPP-Co)的溶剂化效应及其水相体系下的发光机理进行了细致地研究。发现 TMPP 在与钴离子配位后发光强度明显下降; TMPP-Co 的溶剂化效应不仅与溶剂极性有关, 还与 Co 离子的轴向配位有关; TMPP 与 TMPP-Co 在水相条件下及在甘油中的发光强度呈现先上升后下降的趋势。此外, TMPP-Co 产生单线态氧的能力较强; 通过制备 TMPP-TAT-NPs 纳米粒子成功实现对细胞的染色, 并局域在细胞溶酶体上。

**关键词:** TMPP; 溶剂化效应; 单线态氧; 细胞染色

中图分类号: O614.81<sup>+2</sup>; O614.4; O645.13 文献标识码: A 文章编号: 1001-4861(2018)12-2161-11

DOI: 10.11862/CJIC.2018.279

## Optical Properties and Biological Applications of Meso-tetrakis (*p*-methylphenyl) Porphyrin and Its Cobalt Complex

ZHANG Wan-Yu<sup>1</sup> ZHANG Xiao-Juan<sup>\*1</sup> TONG Jia-Lin<sup>1</sup> CHEN Tian-Ci<sup>1</sup>

TIAN Jun-Qiang<sup>1</sup> HU Rong<sup>2</sup> WANG Zhi-Ming<sup>\*2</sup>

(<sup>1</sup>School of Petrochemical Engineering, Shenyang University of Technology, Liaoyang, Liaoning 111003, China)

(<sup>2</sup>Shenzhen Research Institute, The Hong Kong University of Science and Technology, Shenzhen, Guangdong 518000, China)

**Abstract:** The solvation effects of meso-tetrakis(*p*-methylphenyl) porphyrin (TMPP) and meso-tetrakis(*p*-methylphenyl) porphyrin cobalt (TMPP-Co), and the luminescence mechanism in aqueous systems have been studied in detail. It was found that the luminescence intensity of TMPP after the complexation of cobalt ions decreased significantly; the solvation effect of TMPP-Co was not only related to the polarity of the solvent but also related to the axial coordination of Co ions. The luminous intensities of TMPP and TMPP-Co showed a trend of increase and then decrease both in aqueous phase and in glycerol. In addition, TMPP-Co has a strong ability to generate singlet oxygen; the preparation of TMPP-TAT-NPs nanoparticles successfully stained cells and localized to the cell lysosomes.

**Keywords:** TMPP; photoelectric properties; singlet oxygen; cell staining

## 0 引言

卟啉类化合物是维持动植物生理活性的中心, 在氧的传输、储存及活化, 酶催化, 光合作用及电子传递过程中发挥着重要的作用<sup>[1-4]</sup>。近年来, 科研工作

者们通过不断地改变卟啉母体化合物卟吩环上取代基的种类及位置, 设计出一系列具有特定功能的卟啉类衍生物。如今, 吲哚类化合物已被广泛用于光化学、生物医学、分析化学、催化等诸多领域<sup>[5-12]</sup>。

人们不断地设计结构复杂的卟啉类化合物, 反

收稿日期: 2018-05-22。收修改稿日期: 2018-10-02。

国家自然科学基金(No.51673118)和深圳市基础研究计划项目(No.JCYJ20160428150429072)资助。

\*通信联系人。E-mail: zxj51565@163.com, wangzhm1983@163.com

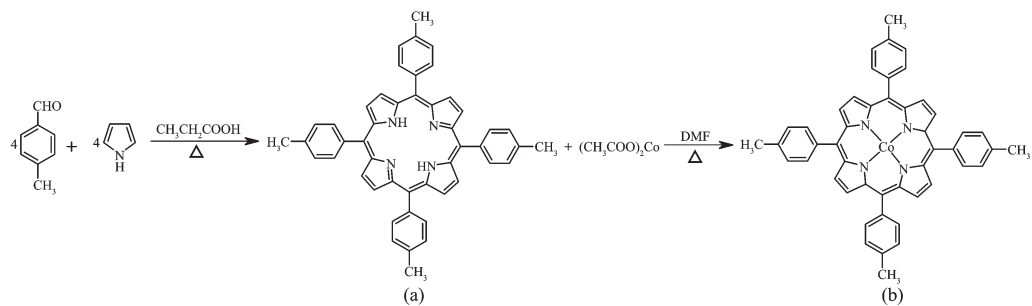


图 1 TMPP (a) 及 TMPP-Co (b) 的合成路线  
Fig.1 Synthesis route of TMPP (a) and TMPP-Co (b)

而忽视了对结构较为简单的卟啉类化合物的研究。因此本文制备并纯化了 *meso*-四(对甲基苯基)卟啉(TMPP)及其钴配合物 TMPP-Co, 并对它们的溶剂化效应、不同水含量下的发光情况及单线态氧(ROS)产生能力进行了细致的讨论, 根据吸收及发射光谱的变化过程提出了相应的发光机理。由于卟啉类化合物作为光动力疗法的光敏剂, 在光的激发下能够产生杀灭肿瘤细胞的单线态氧, 目前已成为生物医学领域的研究热点<sup>[13-16]</sup>。因此本文也尝试用 MAL(马来酸酐)修饰的 PEG (聚乙烯醇) 包覆 TMPP 并用 TAT(一种具有细胞膜穿透作用的多肽)修饰, 以制备 TMPP-MAL-TAT 纳米粒子, 并探究其在细胞染色领域的应用。

## 1 实验部分

### 1.1 TMPP 及 TMPP-Co 的制备

采用优化后的 Alder 法<sup>[17]</sup>合成 TMPP。取 250 mL 四口烧瓶, 加入 120 mL 丙酸作溶剂兼催化剂, 加热搅拌至回流后停止加热, 待温度降至 110 ℃时滴加新蒸吡咯与对甲基苯甲醛(物质的量之比为 1:1.1, 以 0.05 mol 吡咯为基准), 滴加结束后迅速加入 2 mL 硝基苯, 继续加热搅拌至回流并开始计时, 反应 40 min 后蒸出 90 mL 丙酸, 停止反应, 将反应液冷却至室温, 再放入 -25 ℃环境中静置过夜产生结晶沉淀, 经抽滤、洗涤获得滤饼, 用硅胶柱层析法提纯, 流动相为二氯甲烷/石油醚(1:3, V/V), 收集第一色带(紫色), 旋干溶剂后得 2.09 g 紫色晶体, 收率为 25%。UV-Vis(DCM, λ/nm): S: 412, Q: 516, 551, 591, 648。<sup>1</sup>H NMR(CDCl<sub>3</sub>, 300 MHz): δ -2.77(s, 2H, N-H), 2.70(s, 12H, -CH<sub>3</sub>), 7.54(d, J=4.6 Hz, 8H, Ph), 8.08(d, J=4.7 Hz, 8H, Ph), 8.85 (s, 8H, Py)。IR (KBr, cm<sup>-1</sup>): 3 335, 2 914, 1 504, 1 470, 1 348, 982, 838。HRMS: C<sub>48</sub>H<sub>38</sub>N<sub>4</sub> 计算值 670.309 6, 实验值 670.226 4。

采用一锅法合成 TMPP-Co。取 250 mL 四口烧瓶, 加入精制后的 TMPP 2 g, 按 TMPP 与金属盐物质的量之比 1:7 加入一定质量的乙酸钴, 以 120 mL DMF 做溶剂兼催化剂, 搅拌加热至回流开始计时, 反应 4.5 h 后蒸出 90 mL 溶剂, 停止反应, 后处理过程与 TMPP 的后处理过程相同, 其中柱层析法提纯的流动相为二氯甲烷/石油醚(1:2, V/V), 收集第二色带(橘红色), 旋干溶剂后得 1.9 g 紫色晶体, 收率 92%。UV-Vis(DCM, λ/nm): S: 413, Q: 483。<sup>1</sup>H NMR (CDCl<sub>3</sub>, 300 MHz): δ 2.69(s, 12H, -CH<sub>3</sub>), 7.80(d, J=4.6 Hz, 8H, Ph), 8.47(d, J=4.7 Hz, 8H, Ph), 8.52(s, 8H, Py); IR (KBr, cm<sup>-1</sup>): 2 915, 1 505, 1 454, 1 349, 998, 845; HRMS: C<sub>48</sub>H<sub>36</sub>CoN<sub>4</sub> 计算值 727.227 2, 实验值 727.141 7。

### 1.2 光学性能测试

分别称取 10 mg 的 TMPP 及 TMPP-Co, 稀释到 10 mL 四氢呋喃(THF)中, 配成一定浓度的母液, 采用日本岛津公司 UV-2600 型紫外分光光度计及 PerkinElmer 公司 LS-55 型荧光分光光度计进行吸收和发射光谱的测定。测试溶剂化及含水体系下的发射光谱时, 激发波长为其在该体系下 S 带的吸收波长, 狹缝宽度均为 15 nm。

### 1.3 电化学测试

采用上海辰华 CHI760E 电化学工作站进行循环伏安测试。以精制的二氯甲烷为正方向扫描溶剂, 无水 DMF 为负方向扫描溶剂, 配制成浓度为 0.1 mol·L<sup>-1</sup> 的四丁基六氟磷酸铵电解质溶液。工作电极为玻碳电极, 参比电极为 Ag/AgNO<sub>3</sub> 电极, 辅助电极为铂电极, 以二茂铁做内标(4.8 eV)。测试时将少量化合物加入到电解槽中, 加入 3 mL 电解液, 连接电极, 设置参数(扫速为 0.1 V·s<sup>-1</sup>)进行正负方向扫描测试。在测试负向时要通入少量的氮气。

HOMO 能级的计算方法:

$$E_{\text{HOMO}} = -e(E_{\text{ox}}^{\text{onset}} + 4.8 \text{ V} - E_{\text{Fe}/\text{Fc}})$$

$E_{\text{ox}}^{\text{onset}}$ : 氧化初始电位;  $E_{\text{Fe}^{\cdot}/\text{Fe}}^{\text{onset}}$ : 正方向二茂铁氧化还原峰值平均值。

LUMO 能级的计算方法:

$$E_{\text{LUMO}} = -e(E_{\text{red}}^{\text{onset}} + 4.8 \text{ V} - E'_{\text{Fe}^{\cdot}/\text{Fe}})$$

$E_{\text{red}}^{\text{onset}}$ : 还原初始电位;  $E'_{\text{Fe}^{\cdot}/\text{Fe}}$ : 负方向二茂铁氧化还原峰值平均值。

能级差的计算方法:

$$\Delta E = E_{\text{LUMO}} - E_{\text{HOMO}}$$

#### 1.4 活性氧测试

以 THF 为溶剂将 TMPP 及 TMPP-Co 配成浓度为  $1 \text{ mmol}\cdot\text{L}^{-1}$  的母液。在避光条件下用  $1 \text{ mol}\cdot\text{L}^{-1}$  的氢氧化钠水溶液水解掉 ROS(二氯荧光素二乙酯)中的乙酯使其成为二氯荧光素, 即将 ROS 探针激活。取 2.900 mL 去离子水于比色皿中, 加入 30  $\mu\text{L}$  母液, 再向比色皿中加入 70  $\mu\text{L}$  激活后的 ROS 荧光探针, 并让他们充分混合均匀。加入荧光探针时要保证周围环境昏暗或在避光条件下进行, 并且在接下来的测试中也要使周围环境达到同样条件。调节光源强度使其达到  $4 \text{ mW}\cdot\text{cm}^{-2}$ , 并使光照均匀。测试时间范围为 1~10 min, 每光照 1 min 进行一次荧光测试, 设置荧光光谱的  $\lambda_{\text{ex}}=488 \text{ nm}$ (激发波长)和  $\lambda_{\text{em}}=520 \text{ nm}$ (观测波长); 狹缝宽度为 2 nm; 测试荧光光谱范围为 495~700 nm。

#### 1.5 细胞染色实验

采用商业购买的 Hela 细胞进行培养及传代, 先进行 TMPP 与 TMPP-Co 对细胞的直接染色: 在培养皿中加入 1 mL 培养基, 加入 150  $\mu\text{L}$ (或 80  $\mu\text{L}$ )充分混合的细胞培养基, 混匀后置于培养箱中, 待细胞贴壁后即可用于染色。用 DMSO 将染料配成  $1 \text{ mmol}\cdot\text{L}^{-1}$  的母液, 取 5  $\mu\text{L}$  母液于培养皿中混匀, 置于培养箱中培养 30 min 后移去培养基, 用 PBS 溶液洗 3 次以确保染料不再残余在溶液中, 再加入 1 mL 培养基, 将其置于荧光显微镜下拍照, 选用与染料的最大吸收波长相近的激光波长, 若荧光微弱则可将染料浓度提高或染色时间延长, 若荧光较强则可适当降低染料浓度或缩短染色时间, 以此来确定最适浓度和染色时间。确定后则可用最适浓度和时间进行后续实验。

再用 MAL(马来酸酐)修饰的 PEG(聚乙烯醇)进行包覆 TMPP 衍生物纳米粒子的制备及其 TAT 修饰。制备 TMPP-TAT-NPs 纳米粒子的步骤如下: 称取 1.0 mg TMPP, 溶于 1mL 氯仿溶液中, 得到 1 mg·

$\text{mL}^{-1}$  TMPP 溶液。称取 1 mg MAL(马来酸酐修饰的 PEG), 溶于 0.5 mL TMPP 溶液, 再加入 4.5 mL 纯水, 得到  $0.1 \text{ mg}\cdot\text{mL}^{-1}$  MAL-TMPP 混合溶液。将  $0.1 \text{ mg}\cdot\text{mL}^{-1}$  MAL-TMPP 混合溶液超声(时间 5 min, 强度 20%)使得 TMPP 和 MAL 充分接触。往溶液中通入氮气约 6 h, 使氯仿溶液挥发干后, 将 TMPP 水溶液过滤膜, 得到 TMPP-MAL 水溶液约  $50 \mu\text{g}\cdot\text{mL}^{-1}$ 。取 0.5 mL TMPP-MAL 水溶液, 加入 2  $\mu\text{L}$  TAT, 搅拌过夜后透析 2 d, 得到约  $50 \mu\text{g}\cdot\text{mL}^{-1}$  TMPP-MAL-TAT 水溶液。取 100  $\mu\text{L}$  于 1 mL 培养基中, 混匀后与 Hela 细胞共培养 9 h。

用 PBS 冲洗细胞 2 次后用共聚焦荧光显微镜进行拍照, 观察其染色情况。

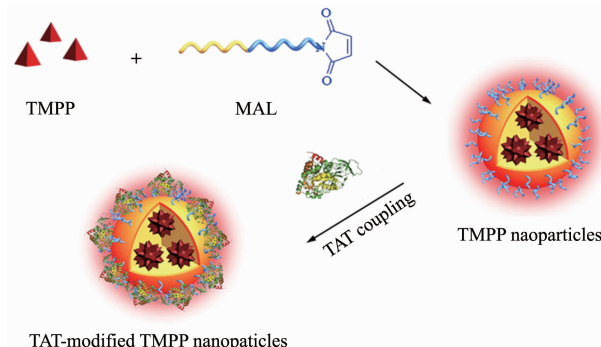


图 2 MAL 修饰的 PEG 包覆的 TMPP 衍生物纳米粒子及 TAT 修饰过程

Fig.2 MAL-modified PEG coated TMPP derivatives nanoparticles and TAT modification process

## 2 结果与讨论

### 2.1 溶剂化效应

每次取 2.5 mL 不同极性的溶剂于比色皿中, 再加入 50  $\mu\text{L}$  母液搅匀进行溶剂化效应测试, 结果如图 3 所示。从整体上看 TMPP 与 TMPP-Co 的发射峰强度及峰位变化存在一定的差异, 但也存在一定的共性, 如在甲苯中都发生了红移; 在乙腈、乙醇及异丙醇中均发生蓝移。同时也发现与金属离子配位后, 发光强度显著下降。

通过图 3a 发现, TMPP 在不同极性溶剂中的变化较为规律: 在质子型极性溶剂中的发光较强; 在非质子非极性溶剂中的发光较弱。按照溶剂极性顺序, 理论上 TMPP 在乙腈中的发光应较强, 但由于其极性较大, 使 TMPP 的空间结构发生扭曲, 造成电荷分布不均, 电子跃迁能隙变宽, 激发态电子多以无辐射跃迁的形式回落至基态, 因此表现为发射

峰变宽、发射峰位蓝移及发射强度下降。而乙醇及异丙醇存在分子间氢键的作用,它们能形成较大体系的链状结构,从而实现对发光中心的包裹缠绕,降低了TMPP因振转运动而损耗的能量,使发光增强;同时,这种链状结构具有较大极性,同样会使跃迁能隙变宽,表现出发射峰变宽及发射峰位蓝移。这也预示着可以通过在meso位苯环对位上链接较长结构的烷基链实现对发光核的包裹,抑制分子间相互作用,进而实现卟啉在水相条件下及薄膜条件下的应用。

通过图3b可知,TMPP-Co在不同极性溶剂中的发射峰强度变化是不规律的。特别是将TMPP-Co母液滴入乙腈后,溶液颜色由浅棕色立即变为黄绿色。图4为50 μL母液在乙腈-THF混合溶剂中(总体积10 mL,乙腈含量用体积分数表示)的吸收及发射光谱。如图4a所示,随着乙腈含量的逐渐增加,S

带吸收峰由单峰逐渐变为双峰,Q带吸收峰渐渐消失,这是由于TMPP-Co的中心金属离子与乙腈分子中氮上的孤对电子发生轴向配位形成图6中的TMPP-Co(CN)<sup>[18]</sup>。而乙腈分子属于p-π共轭结构,在发生轴向配位后,能使发光中心的电子云密度增加,因此从图4b中可以发现发射峰强度随乙腈含量的增加逐渐增强。

由于TMPP-Co可以发生轴向配位,选用具有大π共轭结构的吡啶与THF配成混合溶剂(总体积10 mL,吡啶含量用体积分数表示)加入50 μL母液测得吸收及发射光谱如图7所示。由图7a可见,TMPP-Co的S带吸收峰由单峰变为双峰,这表明TMPP-Co与吡啶发生了轴向配位,形成了图6中的TMPP-Co(Py)。其中1号吸收峰呈现先下降后上升再下降的趋势,吸收峰位先蓝移后红移;2号吸收峰则随着吡啶含量的增加逐渐变为肩峰且强度变化

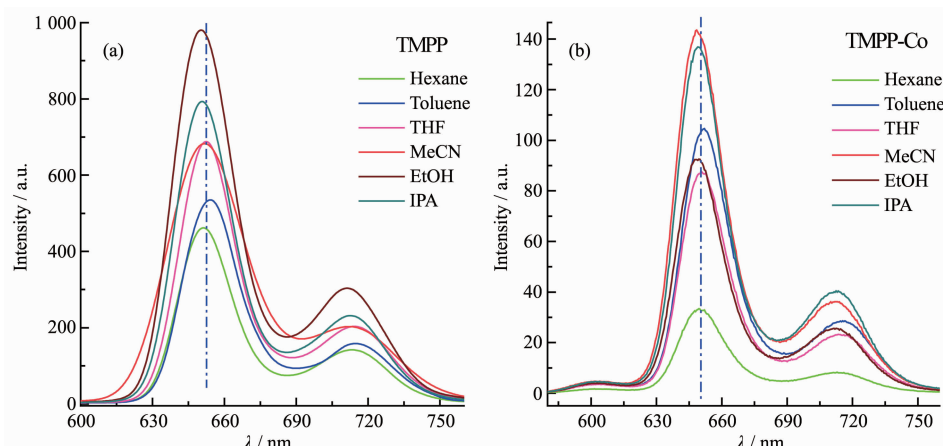


图3 TMPP 及 TMPP-Co 在不同溶剂中的发射光谱

Fig.3 Emission spectroscopy of TMPP and TMPP-Co in different solvents

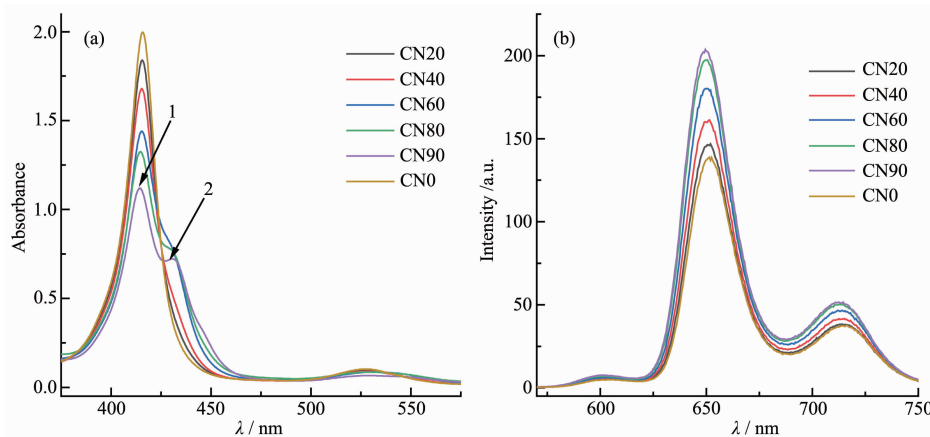
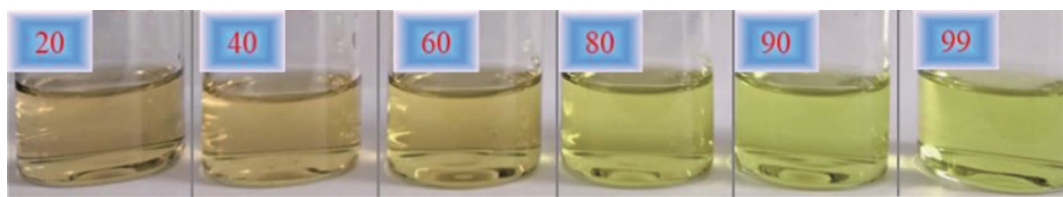


图4 TMPP-Co 在不同体积比的乙腈-THF 溶剂中的吸收 (a)和发射 (b)光谱

Fig.4 Absorption (a) and emission (b) spectra of TMPP-Co in acetonitrile-THF solvents with different volume ratios



From left to right: content of MeCN=20%, 40%, 60%, 80%, 90%, 99% (V/V), respectively

图 5 TMPP-Co 溶液在不同体积比的乙腈-THF 溶剂中的颜色变化

Fig.5 Color change of TMPP-Co solution in acetonitrile-THF solvents with different volume ratios

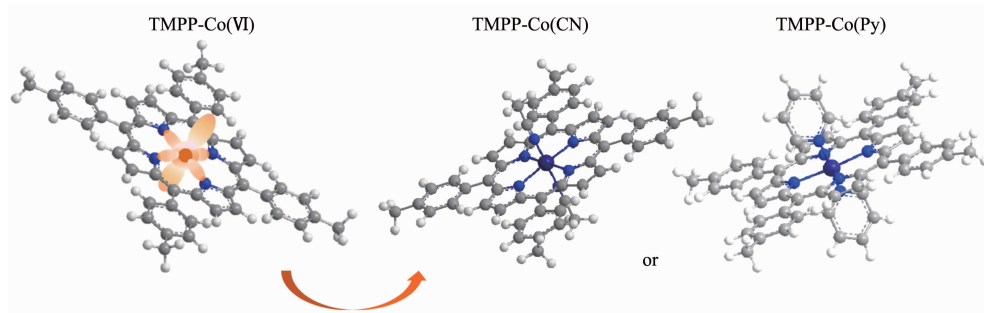
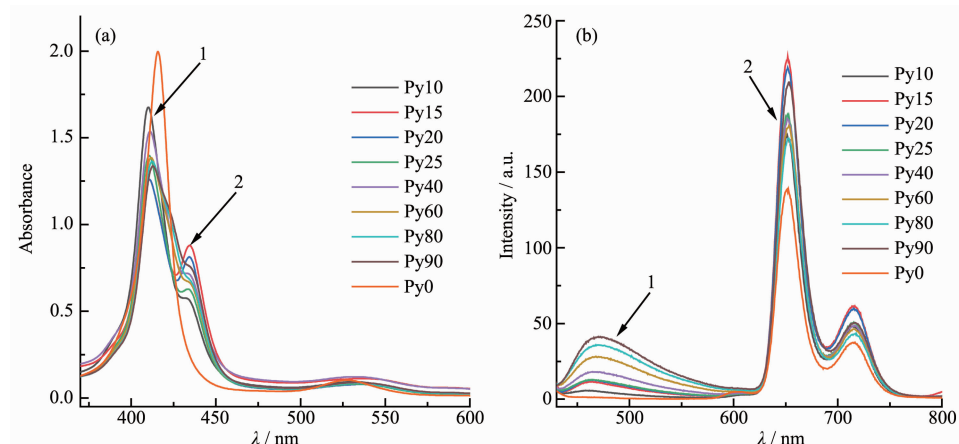


图 6 TMPP-Co 在乙腈或吡啶中发生轴向配位的机理

Fig.6 Mechanism of axial coordination of TMPP-Co in acetonitrile or pyridine



Py0~Py90: content of pyridine=0, 10%, 15%, 20%, 25%, 40%, 60%, 80%, 90% (V/V), respectively

图 7 TMPP-Co 在不同体积比的吡啶-THF 溶剂中的吸收 (a) 和发射 (b) 光谱

Fig.7 Absorption (a) and emission (b) spectra of TMPP-Co in pyridine-THF solvents with different volume ratios

不规律,这说明 TMPP-Co(Py) 中出现了分子内电荷转移的过程,但 TMPP-Co 母体与轴向配体之间的电荷转移存在一个相互竞争的关系:即吡啶含量在 0~15% 内是先逐渐形成 TMPP-Co (Py), 并增大母体 TMPP-Co 的大  $\pi$  环发光中心电子云密度,这一过程也导致吡啶配体表现出缺电子特性,使 TMPP-Co (Py) 分子内形成 TMPP-Co 电子供体(D)及 Py 电子受体(A);随着吡啶含量的增加,溶剂极性也随之增强,电荷由发光中心逐渐转移至轴向的 Py 配体上,这一过程从图 7b 中 1 号发射峰和 2 号发射峰强度的变化也可以得到印证(吡啶含量 20%~80% 时,1 号

发射峰强度迅速增强;2 号发射峰强度迅速下降);当吡啶的含量达到 90% 以上,TMPP-Co(Py) 分子内电荷分布趋于稳定,此时体系中充满含有  $\pi$  键的吡啶分子,出现了分子间较强的  $\pi$ - $\pi$  相互作用。由于斥力的存在避免了 TMPP-Co(Py) 的相互堆叠,并使 TMPP-Co(Py) 整体结构更加平整,因此发光强度增强,吸收峰和发射峰也相应地发生红移。

基于 TMPP-Co 在含  $\pi$  体系中发光规律,其在甲苯中发光强度的变化也可以得到合理的解释:在甲苯中因  $\pi$ - $\pi$  互斥作用,避免了由于 TMPP-Co 相互堆叠而引发的荧光淬灭,同时使电子尽可能多的

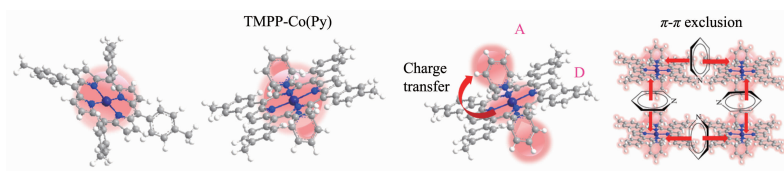


图 8 TMPP-Co 在不同体积比的吡啶-THF 溶剂中的发光机理

Fig.8 Luminescent mechanism of TMPP-Co in pyridine-THF solvent with different volume ratios

局域在发光核附近。而其在乙醇及异丙醇中的发光强度与 TMPP 中的不同,这是由于异丙醇与乙醇相比多了一个具有供电性的甲基,导致氢键作用减弱且极性降低,但异丙醇通过轴向配位增强 TMPP-Co 中心的电子云密度。

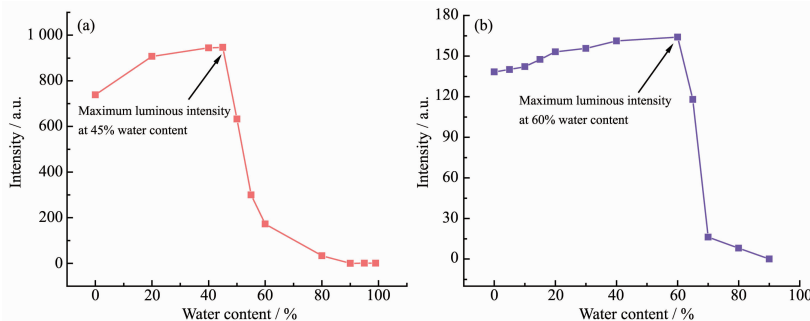
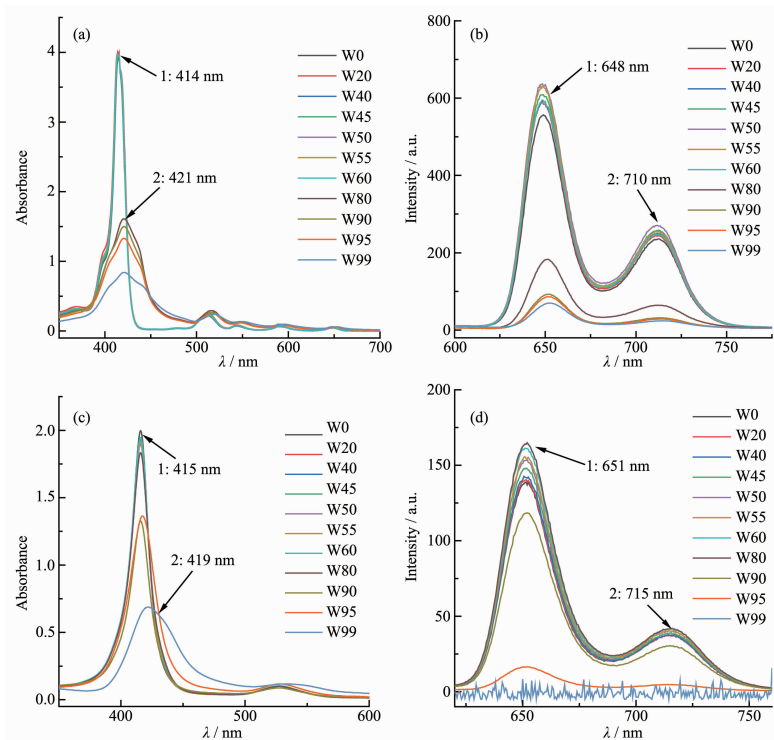


图 9 TMPP (a) 及 TMPP-Co (b) 在水-THF 溶剂中随水含量增加 1 号发射峰强度的变化

Fig.9 Change of intensity of emission peak 1 of TMPP (a) and TMPP-Co (b) with increasing water content in water-THF solvents



W0-W99: content of pyridine=0, 20%, 40%, 45%, 50%, 55%, 60%, 80%, 90%, 95%, 99% (V/V), respectively

图 10 TMPP 及 TMPP-Co 在不同体积比的水-THF 溶剂中的吸收 (a, c) 和发射 (b, d) 光谱

Fig.10 Absorption (a, c) and emission (b, d) spectra of TMPP and TMPP-Co in water-THF solvents with different volume ratios

## 2.2 含水体系下的发光性能

图 9 为 TMPP 与 TMPP-Co 的 50 μL 母液在水-THF 混合溶剂中(总体积 10 mL, 水的含量用体积分数表示)1 号发射峰的强度变化。从图 10 中可知, TMPP 与 TMPP-Co 的发射光谱强度随着水含量的

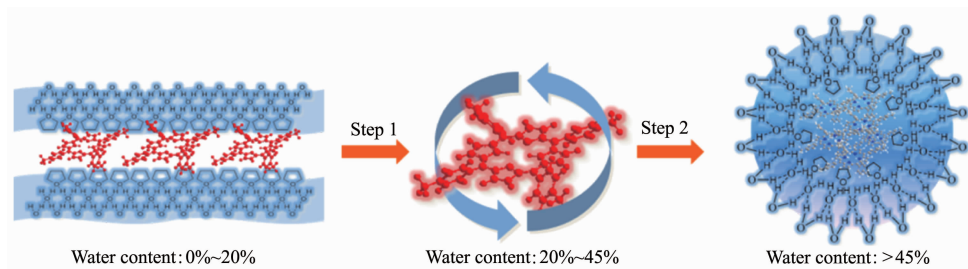


图 11 TMPP 在不同体积比的水-THF 溶剂中的发光机理

Fig.11 Luminescence mechanism of TMPP in water-THF solvent with different volume ratios

增加均呈现先上升后显著下降的趋势,这说明二者均为 ACQ 型分子。对二者在不同水含量下的发光机理进行了推测:当水含量较少时,会受到水极性的影响,表现为极性增大,发光强度增强;随着水含量的增加,在水中氢键的作用下,溶剂自身形成链状结构,实现对发光核的包裹缠绕,减少卟啉因自身振转而损耗的能量,这与在乙醇及异丙醇中的发光机理相同,因此发光强度会有所增强<sup>[19]</sup>;由于 TMPP 及 TMPP-Co 本身不溶于水,在水含量达到一定程度后,会发生聚集,体系逐渐变为水包油型的

乳液,使 TMPP 及 TMPP-Co 分子发生扭曲。从图 10a 及图 10c 中的 2 号吸收峰也可以看到,S 带吸收峰均发生了明显的红移,并且吸收强度显著下降,吸收峰变宽,出现较弱的肩峰。这些变化均表明它们是因结构的改变导致分子轨道重组,能隙变窄,发光中心的电荷发生转移,因此出现荧光猝灭的现象。

### 2.3 粘度对发光性能的影响

图 12 为 TMPP 及 TMPP-Co 的 50 μL 母液在甘油-乙醇混合溶剂中的吸收和发射光谱(总体积 10

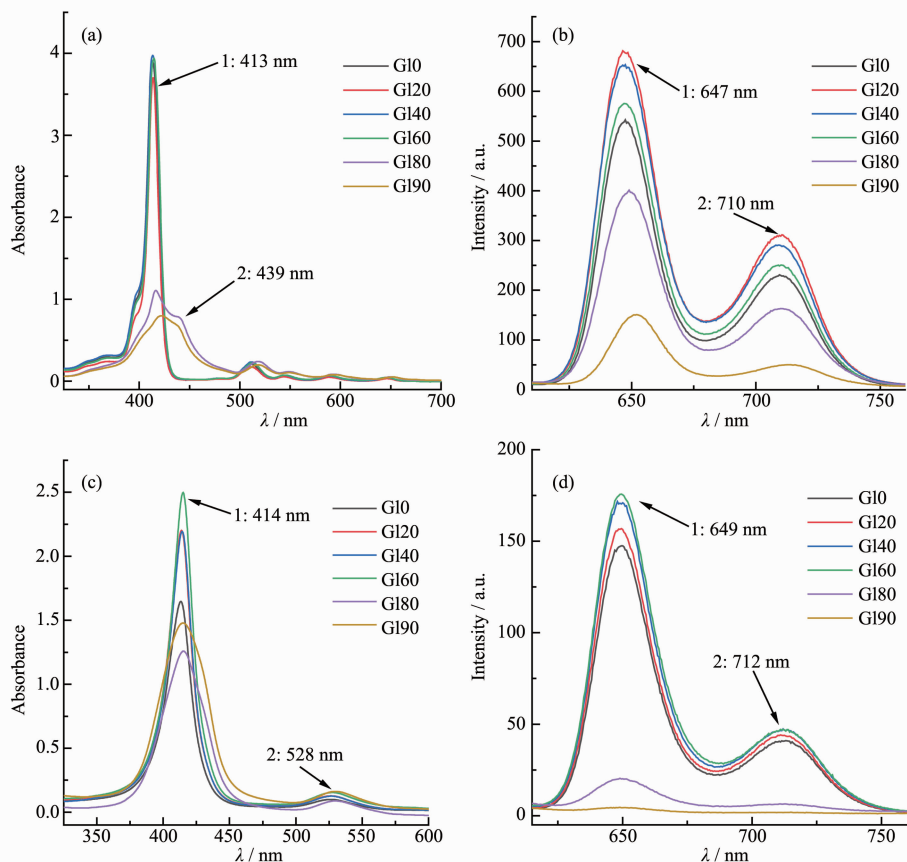


图 12 TMPP 及 TMPP-Co 在不同体积比的甘油-乙醇溶剂中的吸收 (a, c) 及发射 (b, d) 光谱

Fig.12 Absorption (a, c) and emission (b, d) spectra of TMPP and TMPP-Co in glycerol-EtOH solvents with different volume ratios

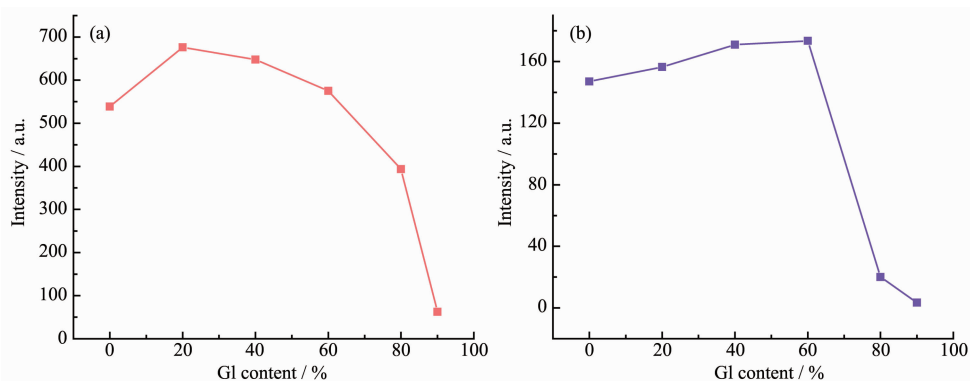


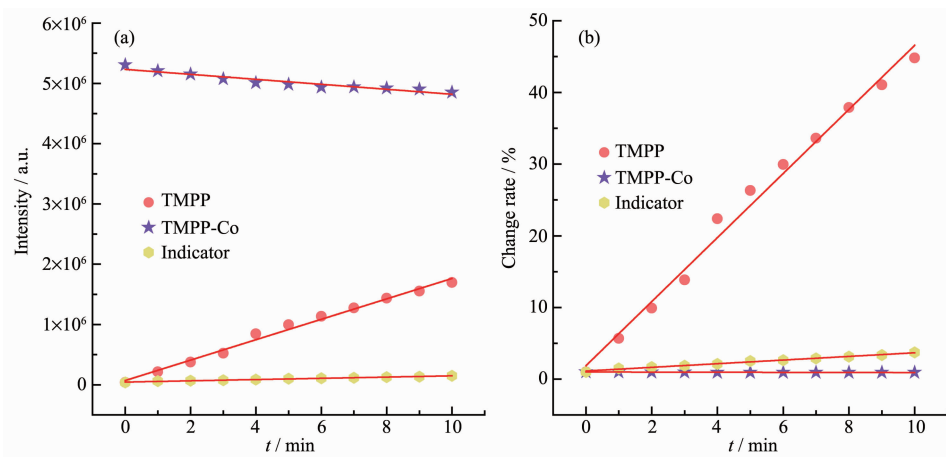
图 13 TMPP (a) 及 TMPP-Co (b) 在甘油-乙醇溶剂中随甘油含量增加 1 号发射峰强度的变化

Fig.13 Change of the intensity of emission peak 1 of TMPP (a) and TMPP-Co (b) with increasing glycerol content in glycerol-EtOH solvents

mL, 甘油含量用体积分数表示)。采用该方法进一步探究这 2 种化合物在不同粘度下的发光机理。图 13 为 2 种化合物 1 号发射峰随甘油含量增加的变化规律, 这与它们在随水含量增加时发光强度的变化规律(图 9)基本一致。甘油含量较少时, 2 种化合物均因粘度增大而使自身振转受限, 发光强度增强。但观察图 12a 发现, 当甘油含量达 80% 时, S 带吸收峰出现了明显的肩峰, 并且吸收峰强度明显下降, 发生了一定程度的红移, 这说明粘度较大时 TMPP 的结构确实发生了扭曲, 并出现了电荷转移的过程; 然而观察图 12b 发现其发射峰位置未发生变化, 也未出现新的发射峰, 说明它仍然是以大  $\pi$  环为发光中心。TMPP-Co 在高粘度下的发光机理与 TMPP 基本相同。该实验也证明了水相条件下发光机理的正确性。

#### 2.4 活性氧测试结果

考虑到 ROS 探针在细胞生物体系内的应用日益成为光动力学研究的热点, 因此采用 TMPP 及 TMPP-Co 在水系条件下形成的纳米粒子作为研究对象。图 14 直观地给出随着时间的变化, ROS 探针荧光强度的变化规律。其中, 在 TMPP 体系中 ROS 的荧光强度随着光照时间的增加逐渐增大, 单线态氧的生成速度与光照呈现良好的线性关系。而在 TMPP-Co 的体系中, ROS 的荧光强度起始时就相对较大, 随时间略有下降, 说明其生成单线态氧的速度极快, 能够在 1 min 内完成转化, 通过测试 TMPP 与 TMPP-Co 的电化学循环伏安曲线(图 15), 发现其具有较低的氧化还原电位, 并且能隙较低, 很容易发生电子跃迁; 此外, 钴离子的顺磁性也能使 TMPP-Co 很容易发生电子从最低激发单重态至中



(a) Fluorescence intensity changes with time; (b) Change rate

图 14 TMPP 及 TMPP-Co 的活性氧测试光谱图

Fig.14 Spectra of TMPP and TMPP-Co for active oxygen test

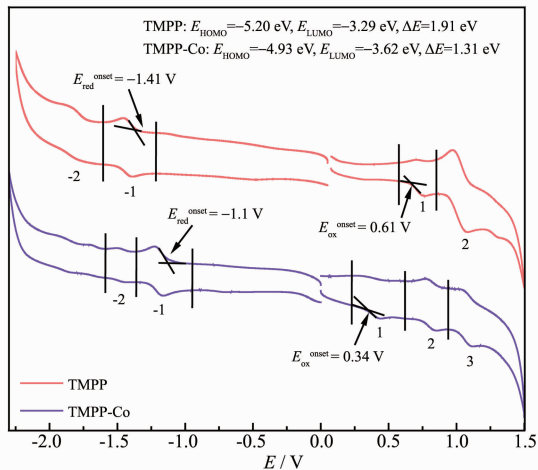


图 15 TMPP 及 TMPP-Co 循环伏安曲线对比

Fig.15 Comparison of cyclic voltammograms of TMPP and TMPP-Co

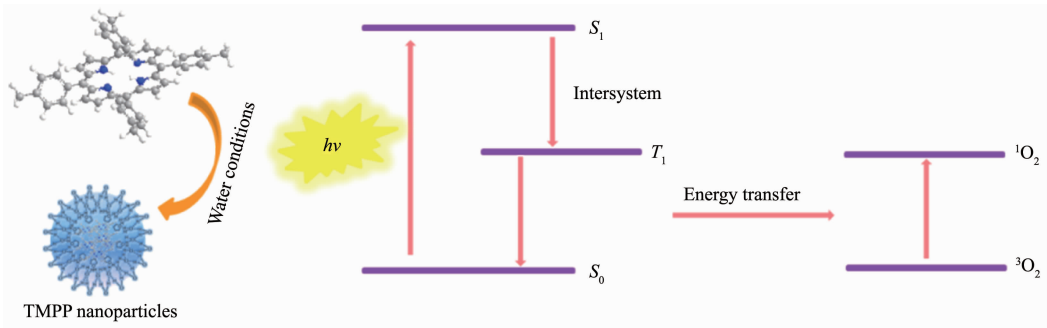


图 16 TMPP 单线态氧产生的机理

Fig.16 Singlet oxygen generation mechanism of TMPP

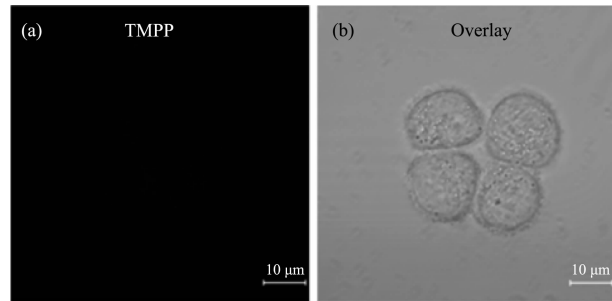
心离子三重态的系间窜越<sup>[20]</sup>;但从另外一个角度看,它的氧化过程可能不是以光控做为决速步骤。据此推测的单线态氧产生机理如图 16 所示。钴离子的引入确实在效果上增加了 ROS 的生产能力,从而起到活化氧化的作用,这对目前关注的工业仿生催化和细胞内的诊疗都具有积极意义。

## 2.5 细胞染色实验

结合上面的数据分析,拟开展 TMPP 及 TMPP-Co 在细胞层次的荧光成像应用研究。从前文看 TMPP 及 TMPP-Co 具有良好的发光效率、电化学行为和产生活性氧的能力。本文用 TMPP 和 TMPP-Co 作为研究对象直接制备荧光探针。可能由于分子间较强的相互作用,导致这 2 种化合物很难采用传统的 DMSO 溶解分散法制备荧光探针。尽管 TMPP 的溶解性较 TMPP-Co 有一定提高,但是发现其与 HeLa 细胞作用 10 h 后均没有观测到细胞内荧光信号(图 17),与明场图像对比,证明 TMPP 并未进入到细胞内部。这个原因可能是由于 TMPP 本身形成的粒子尺寸过大,很难通过细胞的吞噬效应进入细

胞;而其在细胞机制培养液中也很难解离成单分子形式进入细胞,从而导致其并未观测到荧光信号。

因此,只能采用具有细胞膜穿透能力的 TAT (TAT 是一种具有细胞膜穿透作用的多肽) 作为修饰,将纳米粒子表面变为正电荷,利用穿透机制进入细胞。选择 TMPP 进行进一步研究,将 TMPP 和



(a) Dark field fluorescence image excited by  $\lambda_{ex}=405$  nm;  
(b) Overlapping image of dark field fluorescence image and bright field image

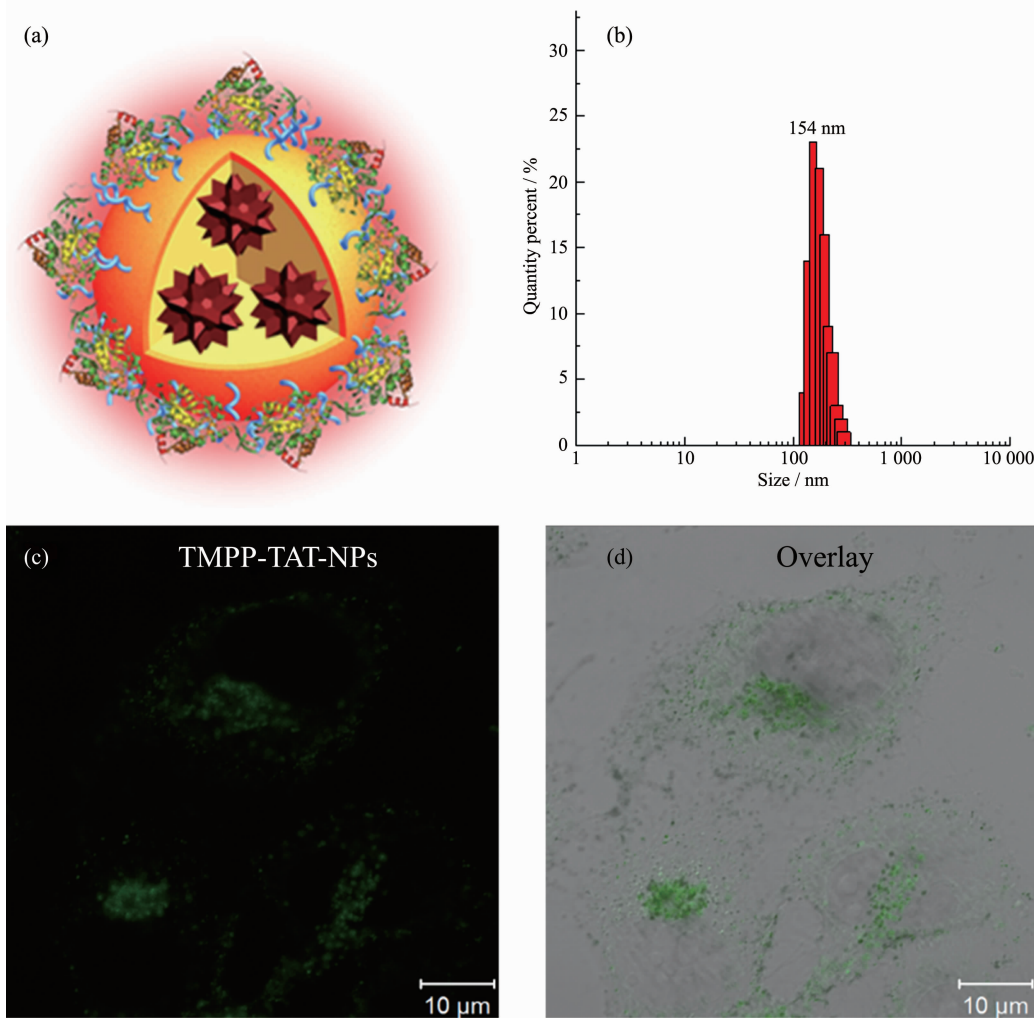
图 17 TMPP 采用 DMSO 传统法进行细胞染色实验

Fig.17 Cell staining experiment of TMPP using DMSO traditional method

马来酸酐修饰的聚乙烯醇(MAL-PEG)包裹共混, 使用氯仿作为主溶剂, 然后利用氮气吹干法制备稳定的纳米粒子 TMPP-MAL-NPs; 进一步采用原位点击的反应, 将富含氨基的 TAT 与纳米粒子表面的马来酰胺的双键反应, 得到 TMPP-TAT-NPs, 其纳米粒径为 154 nm,  $\zeta$  电位是 9.9 mV。这个正的表面电位证明 TAT 已经引入到纳米粒子表面, 而且正电荷有利

于穿透细胞膜(细胞膜表面为负电位)。

采用制备的 TMPP-TAT-NPs 对 HeLa 细胞进行染色发现(图 18c), 当作用时间为 2 h 时, 纳米粒子已经进入细胞并且局域在细胞内溶酶体上, 从暗场激发和重叠图像中均可以观测到显著的荧光信号(这里仍使用绿色荧光作为伪色来提高对比度, 实际荧光颜色为深红色)。



(a) TMPP-TAT-NPs-coated nanoparticles; (b) Hydrated ionic radius of TMPP-TAT-NPs; (c) Cells fluorescence imaging in dark field;  
(d) Image of cell overlapping in bright field and dark field

图 18 TMPP-TAT-NPs 包覆的纳米粒子及其对 HeLa 细胞的荧光成像

Fig.18 TMPP-TAT-NPs-coated nanoparticles and their fluorescence imaging on HeLa cells

### 3 结 论

TMPP 与钴离子配位后, 荧光强度下降。TMPP 在不同极性溶剂中的发光会随着溶剂极性的增强而增强, 但乙腈极性较大, 会改变 TMPP 结构, 使其发光强度减弱; 而 TMPP-Co 在不同溶剂中的发光强度不仅与溶剂极性有关, 还与中心金属离子的轴向

配位有关。此外, TMPP-Co 及 TMPP 在水含量增加的过程中, 荧光强度呈先上升后下降的趋势, 二者在含水量较大的体系中均形成水包油状纳米颗粒。当水含量或粘度较大时, 这 2 种化合物的结构会发生扭曲并且出现电荷转移的过程, 导致荧光淬灭。循环伏安测试显示 TMPP-Co 具有较低的能级差, 其在水相条件下产生活性氧的能力较强。采用 TMPP

制备的 TMPP-TAT-NPs 纳米颗粒成功对细胞进行染色，并具有一定的靶向性。

致谢：感谢国家自然科学基金委面上项目(No. 51673118) 和深圳市基础研究计划项目(No. JCYJ20160428150429072)的资助；感谢胡蓉博士和王志明博士在生物成像实验及分析方面给予的帮助。

## 参考文献：

- [1] Jaramillo M C, Briehl M M, Batini-Haberle I, et al. *Free Radical Biol. Med.*, **2015**,*83*:89-100
- [2] Tovmasyan A, Sampaio R S, Boss M K, et al. *Free Radical Biol. Med.*, **2015**,*89*:1231-1247
- [3] Zhang N, Chen J, Cheng K, et al. *Res. Chem. Intermed.*, **2017**,*43*:2921-2929
- [4] ZHANG Xian-Xia(张现侠), CHEN Can-Yu(陈灿玉). *Acta Chim. Sinica(化学学报)*, **2012**,*70*:2475-2483
- [5] Bagheri S, Omidikia N, Sarvar N, et al. *J. Iran. Chem. Soc.*, **2018**,*15*:587-593
- [6] SHA Qiu-Yue(沙秋月), YUAN Xue-Mei(袁雪梅), WANG Xiao-Yu(王小雨), et al. *Chinese J. Inorg. Chem.(无机化学学报)*, **2016**,*32*(7):1293-1302
- [7] Swirskiy G I, Sergeeva N N, Krasnikov S A, et al. *Phys. Solid State*, **2017**,*59*:368-377
- [8] Loredo-Calderón E L, López-Cortina S T, Carranza-Rosales P, et al. *Med. Chem. Res.*, **2016**,*25*:1657-16650
- [9] LI Yi-Chun(李懿春), QI Yong(齐勇), PAN Ji-Gang(潘继刚). *Chemical Research and Application(化学研究与应用)*, **2016**,*28*(1):25-29
- [10]Wei M, Wan J, Hu Z, et al. *J. Mater. Sci.-Mater. Electron.*, **2016**,*27*:4026-4034
- [11]Sohrabi S, Dehghanpour S, Ghalkhani M. *J. Mater. Sci.*, **2018**,*53*:3624-3639
- [12]Fazaeli Y, Jalilian A R, Amini M M, et al. *J. Radioanal. Nucl. Chem.*, **2013**,*295*:255-263
- [13]Mukai H, Wada Y, Watanabe Y. *Ann. Nucl. Med.*, **2013**,*27*:625-639
- [14]Jimenez C M, Rubio Y G, Saunier V, et al. *J. Sol-Gel Sci. Technol.*, **2016**,*79*:447-456
- [15]REN Li-Lei(任丽磊), PENG Xiao-Xia(彭晓霞), ZHAO Xiu-Li(赵秀丽), et al. *Chinese Journal of Applied Chemistry(应用化学)*, **2016**,*33*(12):1415-1419
- [16]Song H, Wang G, Wang J, et al. *J. Radioanal. Nucl. Chem.*, **2018**,*316*:363-368
- [17]Adler A D, Longo F R, Finarelli J D, et al. *J. Org. Chem.*, **1967**,*32*:476-479
- [18]ZHONG Wen-Xing(钟文星), CHEN Guo-Qiang(陈国强). *Journal of Suzhou University: Engineering Science Edition(苏州大学学报:工科版)*, **2008**,*28*(4):55-57
- [19]Rychtáriková R, Šabata S, Hetflejš J, et al. *Chem. Pap.*, **2012**,*66*:269-277
- [20]LÜ Yan-Yang(吕艳阳), LIU Xiao-Yu(刘小玉), CAO Jun(曹俊). *Journal of Xinyang Normal University(信阳师范大学学报)*, **2010**,*23*(2):275-277